



# COMUNE DI BELLOSGUARDO

## PROVINCIA DI SALERNO

Ufficio Tecnico Comunale

Largo Municipio, n° 8 84020 - Tel. 0828/965026 - Fax: 0828/965501

[utc@comune.bellosguardo.sa.it](mailto:utc@comune.bellosguardo.sa.it) , <http://www.comune.bellosguardo.sa.it/>

## PROGETTO ESECUTIVO RIMODULATO

**MESSA IN SICUREZZA DA FRANE E DAL RISCHIO IDRAULICO  
DELLA RETE STRADALE INTERCOMUNALE COMPOSTA DA:**

- SP 439 - Isca Tufolo (Sen S. Valitutti)
- SP 186 - Bellosguardo - Frascio - Innesto SS 166
- Strada di collegamento da SS166 a SP439 (Str. Comunale Mortellito)

ELABORATO

TAVOLA

\* CALCOLI STRUTTURALI  
Validazione codici strutturali STS Software

**12.7**

SCALA

DATA

-----

Gennaio 2019

*IL SINDACO*

*IL RESPONSABILE DELL'U.T.C. -PROGETTISTA*

dott. Giuseppe PARENTE

dott. Ing. Daniele GNAZZO



---

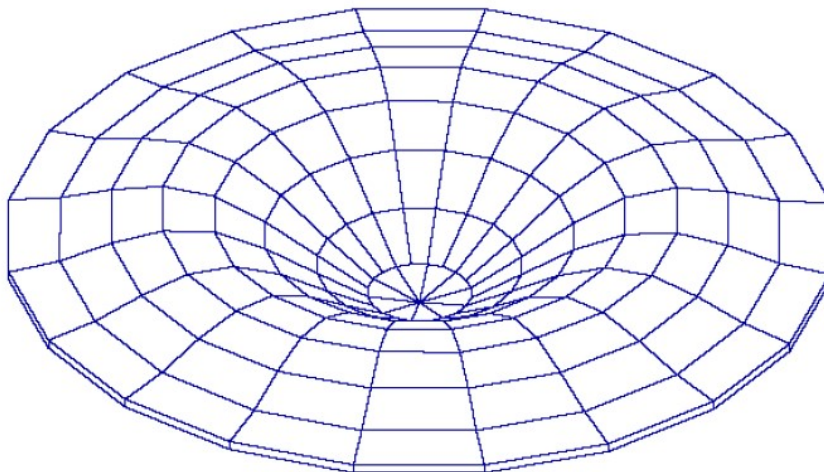
# *CDBWin - Computer Design of Bulkheads*

---

## *CDBWin*

*Release 2009, 2010, 2011, 2012, 2013, 2014, 2015, 2016, 2017 e 2018*

### *Validazione del codice di calcolo*



Software  
Tecnico  
Scientifico S.r.l.

---

## **ESEMPI DI VALIDAZIONE DEL PROGRAMMA *CDBWin* della *S.T.S. s.r.l.***

Il programma *CDBWin* della *S.T.S. s.r.l* effettua l'analisi statica e sismica di paratie a sbalzo e/o multiancorate.

Effettuata l'analisi il software esegue le verifiche di resistenza della sezione della paratia conformemente alla normativa scelta ed al tipo di materiale.

L'analisi viene effettuata con il metodo degli elementi finiti modellando la paratia con elementi trave a comportamento elastico lineare ed il terreno con molle non lineari secondo il modello proposto da *Bowles* nel testo *Fondazioni Progetto ed analisi edito da Mc Graw Hill*.

I tiranti sono modellati come elementi elastoplastici inelastici unilaterali con possibilità di applicare una deformazione iniziale (pretensione).

Per testare la validità del solutore e del modello di calcolo si sono effettuati test su esempi di cui è nota la soluzione numerica in letteratura e che vengono di seguito riportati:

### **Esempio 1**

Paratia a sbalzo tratto dal testo *Elementi di geotecnica dimensionamento dei diaframmi di Renato Lancellotta*.

L'esempio svolto è l'esempio n. 6 del testo:

***Paratia in calcestruzzo  $s = 50\text{cm}$***

***Altezza fuori terra  $H = 6\text{ ml}$***

***Altezza infissa  $H_i = 5\text{ ml}$***

***$\phi = 36^\circ$***

***$\gamma = 1,85\text{ t/mc}$***

***$c = 0$***

***Carichi derivanti dalla sola spinta del terreno***

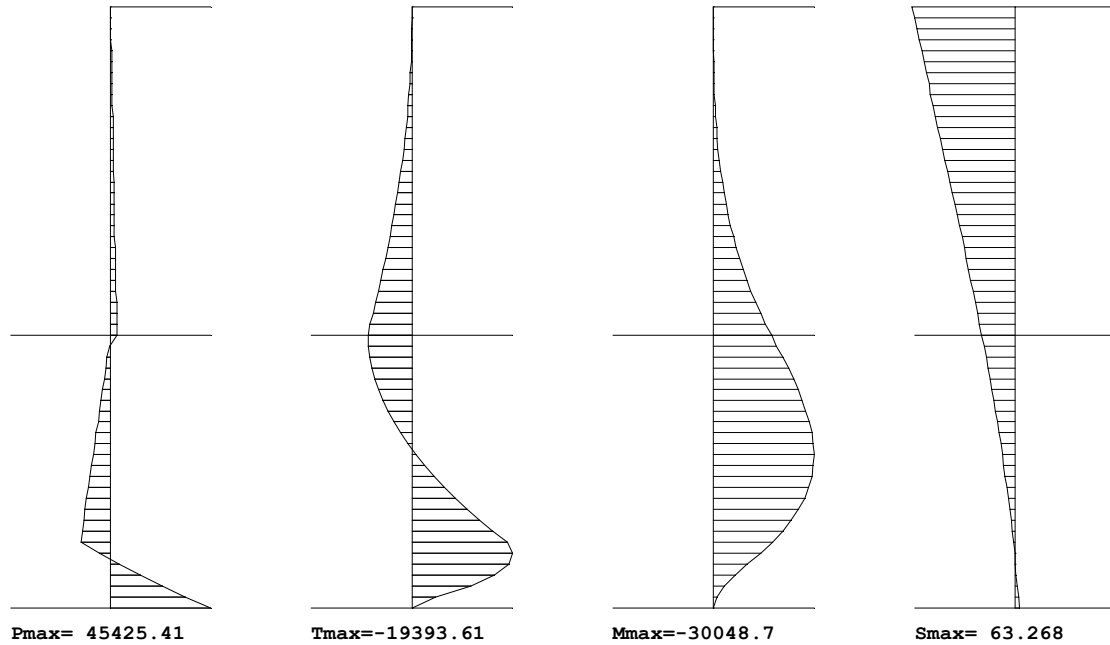
***coefficiente riduzione spinta passiva = 2***

Soluzione teorica con il modello rigido plastico riportato nel testo di Lancellotta :

**$M_{\max} = 29950\text{ kgm}$ ,**

Soluzione ottenuta con *CDBWin* con il modello FEM:

### DIAGRAMMI PRESSIONI E SOLLECITAZIONI PARATIA



**Mmax CDB= 30048 kgm**

*Confronto risultati:*

$$\text{Scarto} = (30048 - 29950) / 29950 = 0,3\%$$

Ovviamente i metodi classici non forniscono informazioni sulla deformabilità della paratia.

## Esempio 2:

Paratia ancorata tratto dal testo *Elementi di geotecnica dimensionamento dei diaframmi di Renato Lancellotta*.

L'esempio svolto è l'esempio n. 4 del testo:

*Altezza fuori terra  $H = 6 \text{ ml}$ .*

*Altezza infissa  $H_i = 2,35 \text{ ml}$ .*

*$\phi = 36^\circ$*

*$\gamma = 1,85 \text{ t/mc}$*

*$c = 0$*

*Tirante a +5 rispetto al fondo scavo*

*Carichi derivanti dalla sola spinta del terreno*

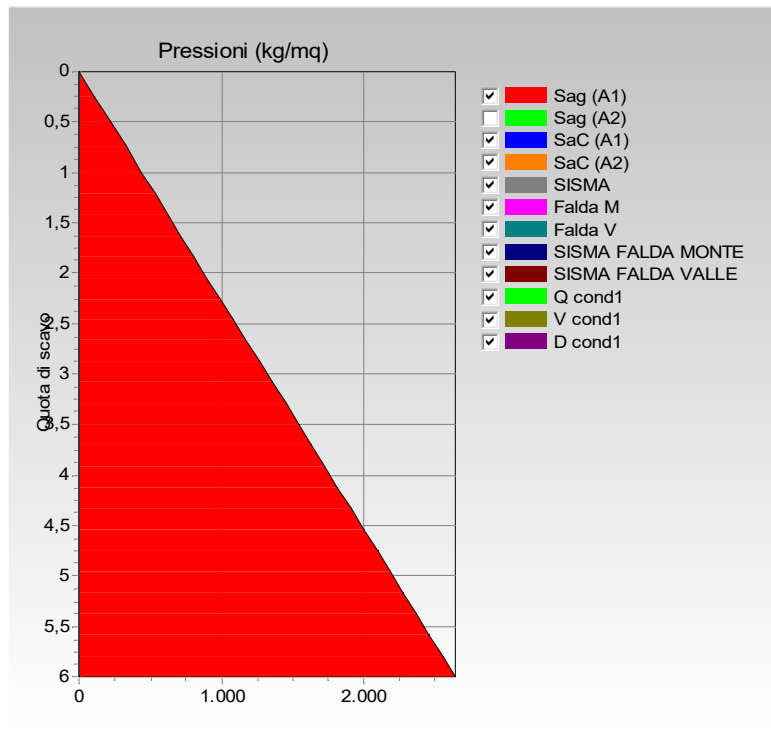
*coefficiente riduzione spinta passiva = 2*

Soluzione teorica con il modello rigido plastico riportato nel testo di Lancellotta:

$$\mathbf{M_{max} = 4210 \text{ kgm.}}$$

Nelle note di commento all'esempio il prof. Lancellotta riporta :....*se si dovesse realizzare una paratia in calcestruzzo armato l'adozione di un simile schema di vincolo potrebbe essere a volte a sfavore di sicurezza.....*, in quanto il vincolo di incastro reale non è perfetto quindi si sottostimano i momenti flettenti positivi.

Soluzione ottenuta con *CDBWin* con il modello FEM:



*Caso di paratia in calcestruzzo*  $s = 20 \text{ cm}$ .

**Mmax CDB= 4195 kgm**

*Confronto risultati:*

$$\text{Scarto} = (4210-4195)/4195 = 0,4\%$$

Ovviamente i metodi classici non forniscono informazioni sulla deformabilità della paratia.

### Esempio 3:

Paratia ancorata tratto dal testo *FONDAZIONI PROGETTO E ANALISI di Joseph E. Bowles*

L'esempio svolto è l'esempio n. 13.2 del testo:

*Altezza fuori terra  $H = 9 \text{ ml}$ .*

*Altezza infissa  $H_i = 5,40 \text{ ml}$ .*

*$\phi = 30^\circ$*

*$\gamma = 1,65 \text{ t/mc}$*

*$c = 0$*

*Terreno a quota inferiore al fondo scavo*

*$\phi = 30^\circ$*

*$\gamma = 1,04 \text{ t/mc}$*

*$c = 0$*

*Tirante a  $+7.80$  rispetto al fondo scavo*

*Falda a  $+6.60$  rispetto al fondo scavo*

*Tiranti passivi  $\phi = 50 \text{ mm}$  passo  $1.80 \text{ ml}$  lunghezza =  $9 \text{ ml}$ .*

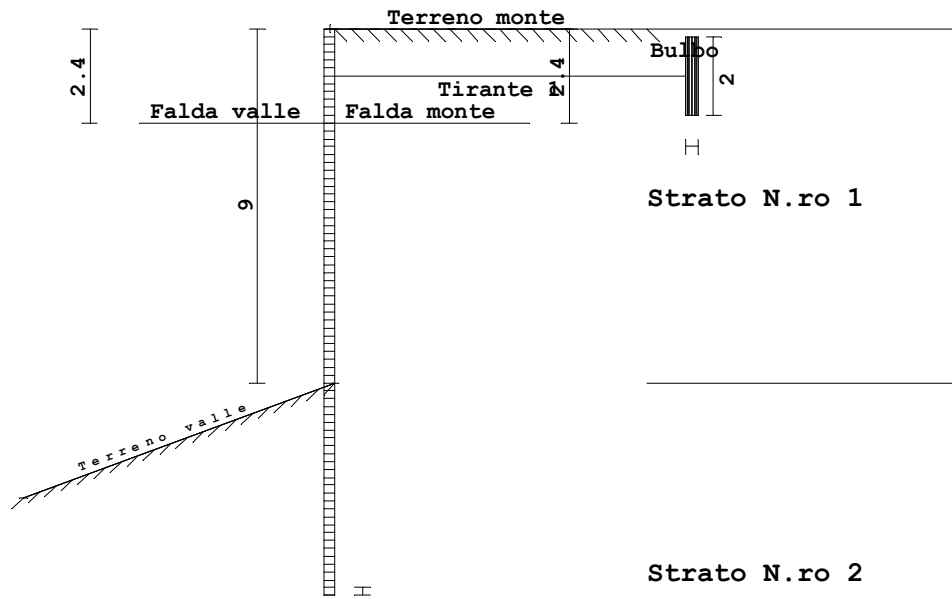
*Sovraccarico distribuito  $q = 2394 \text{ kg/mq}$*

**Risultati analisi FEM riportati nel testo:**

$$M_{\max} = 24562 \text{ kgm}$$

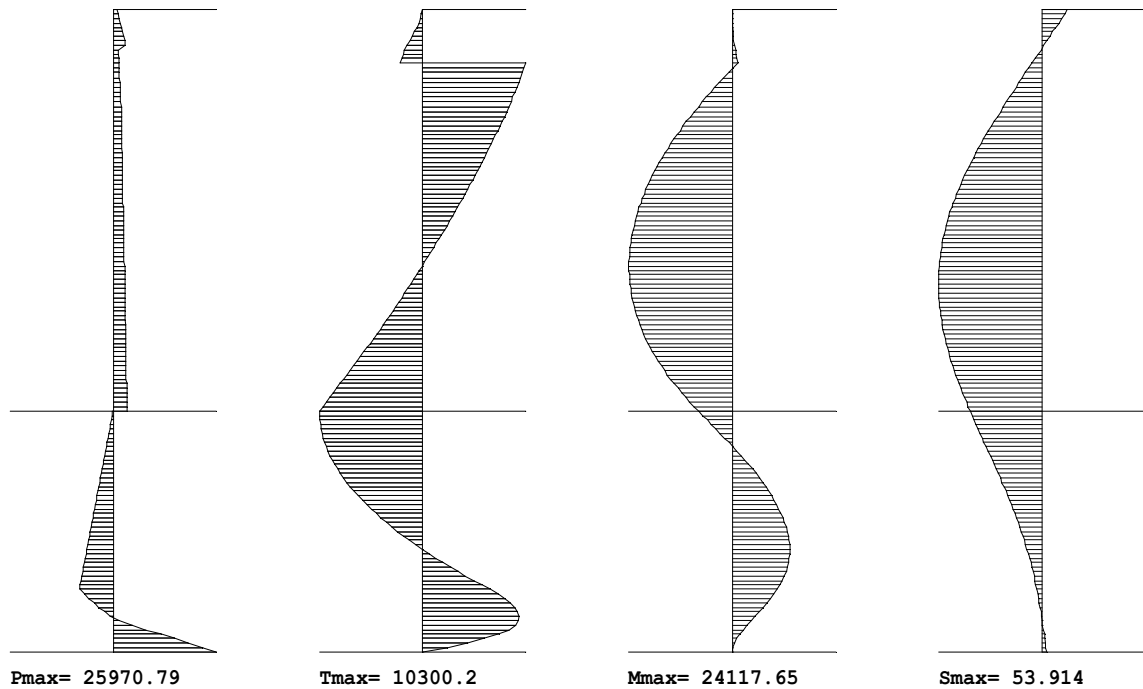
*Spostamento max dell'ordine di  $50 \text{ mm}$*

Calcolo effettuato con *CDBWin*:



*Modello di calcolo*

## DIAGRAMMI PRESSIONI E SOLLECITAZIONI PARATIA



*Risultati analisi CDBWin*

**Risultati analisi FEM CDBWin:**

$$M_{max} = 24118 \text{ kgm}$$

*Spostamento max dell'ordine di 54 mm*

*Confronto risultati:*

$$E1 = (24118 - 24562) / 24562 = -1,8\% \text{ (SCARTO SUL MOMENTO MASSIMO)}$$

$$E1 = (54 - 50) / 50 = 8\% \text{ (SCARTO SULLO SPOSTAMENTO MASSIMO)}$$